# 3Dシミュレーションに基づく 噴煙柱崩壊条件

小屋口剛博·鈴木雄治郎 (東京大学地震研究所)



噴煙柱

Mt. St. Helens 1980年噴火 (USGS)



火砕流

# 何故, 3Dシミュレーションを行うのか? 3Dコードを開発 = 現象の理解と予測?

- ・ パラメータ空間全体での解の挙動
- 風·火口形状・地形などの2D,3D的境界条件に対する応答 (実際の噴火に対する応用)



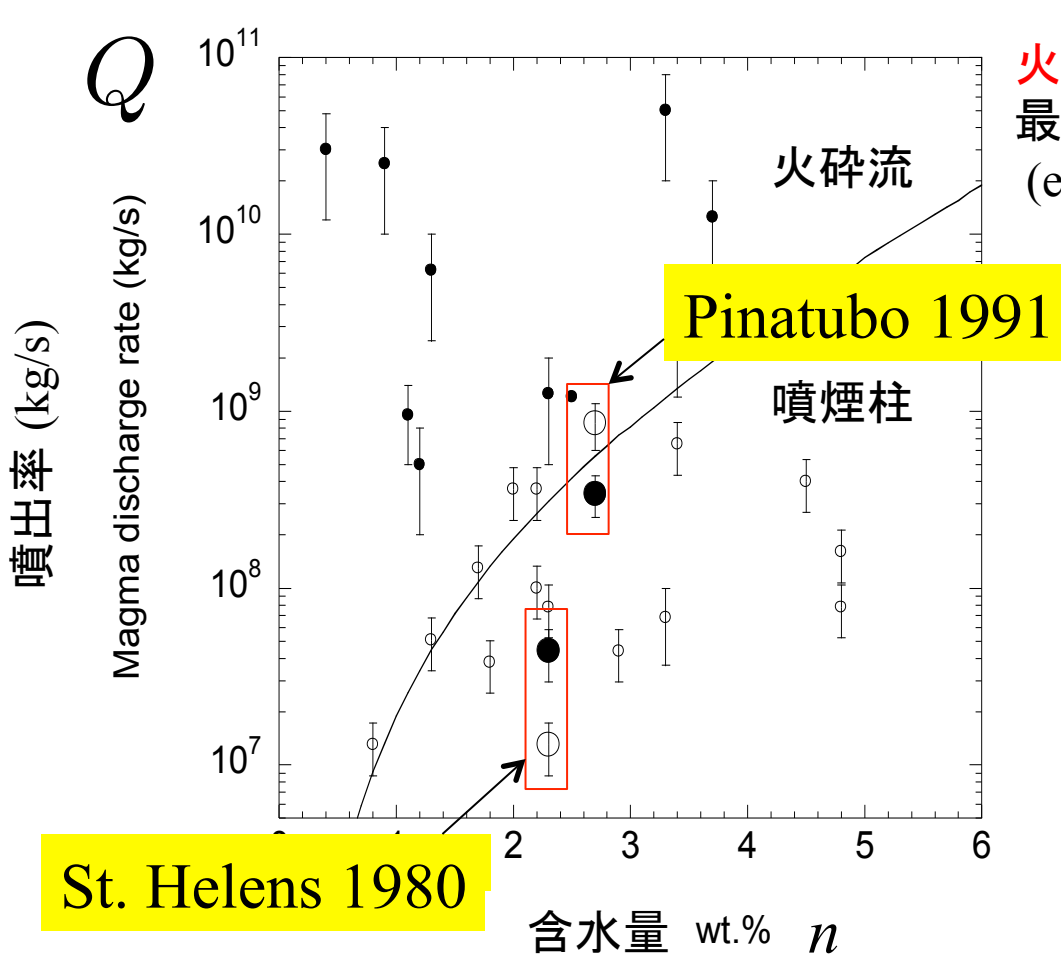
- 1D定常噴煙モデルとの整合性の理解
- 流れの2D,3D性(乱流構造・不均質構造など)がもたらす影響

#### 今日の主な話題:

- 1D定常噴煙モデルにおける噴煙柱崩壊のスケール則
- 3D噴煙モデルによる検証

#### 1D定常噴煙柱モデルによる噴煙柱崩壊条件

Since Sparks and Wilson (1976)



火口での上昇速度=マッハ2を仮定した最近の火砕流発生条件のモデル予測(e.g., Carazzo et al., 2008)

大局的に噴出率と含水量で火砕流の発生条件が決まる.

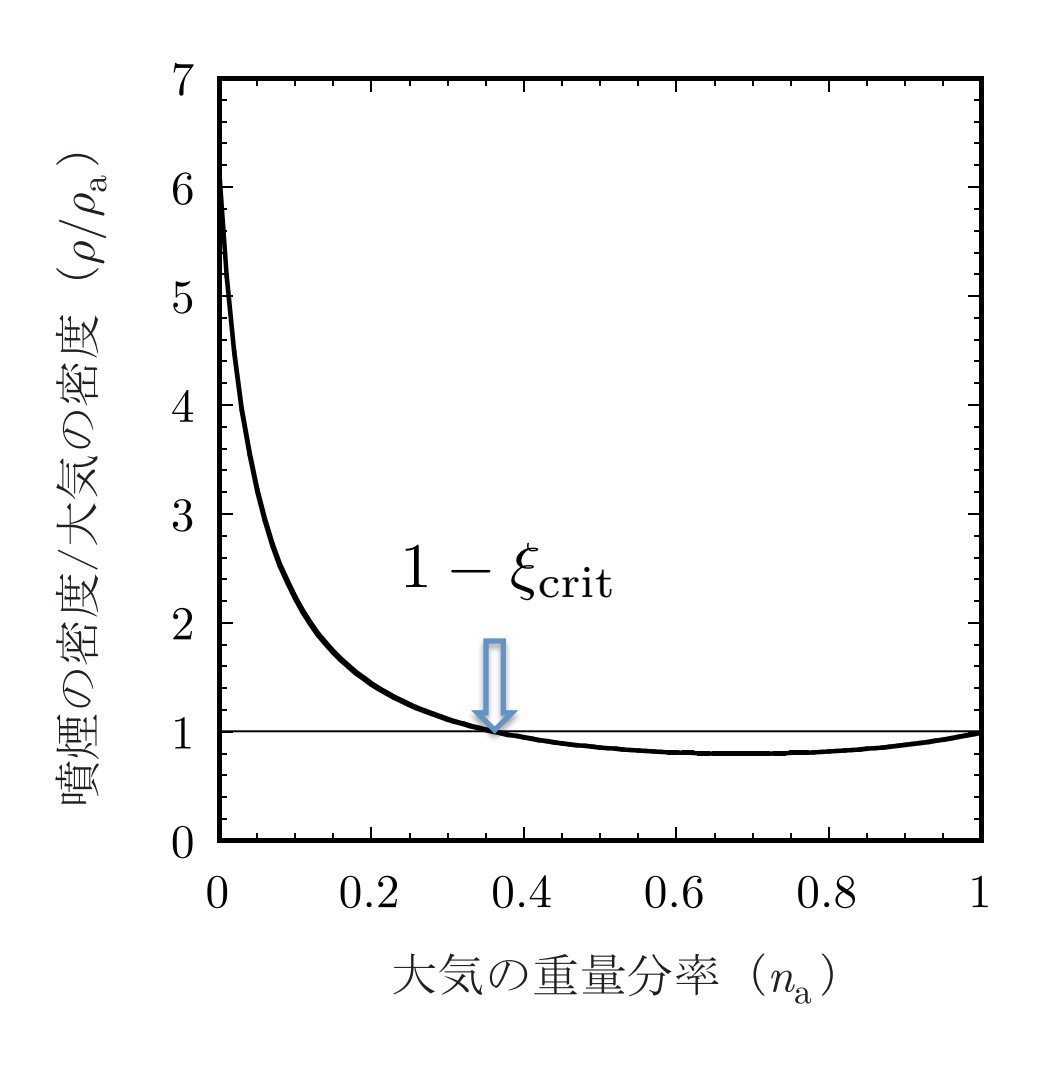
火口が拡大し噴出率が増加 するとともに噴煙柱が崩壊 し火砕流が発生する.

#### <u>観測結果</u>

- 火砕流
- 噴煙柱

#### 1D定常噴煙柱モデルによる噴煙柱崩壊条件

e.g., Woods (1988), Bursik and Woods (1991), Kaminski and Jaupart (2001), Suzuki and Koyaguchi (2012)



$$Ri_{\rm crit} = Ck \frac{\rho_{\rm a}}{\rho_0} \frac{\xi_{\rm crit}}{1 - \xi_{\rm crit}}$$

where

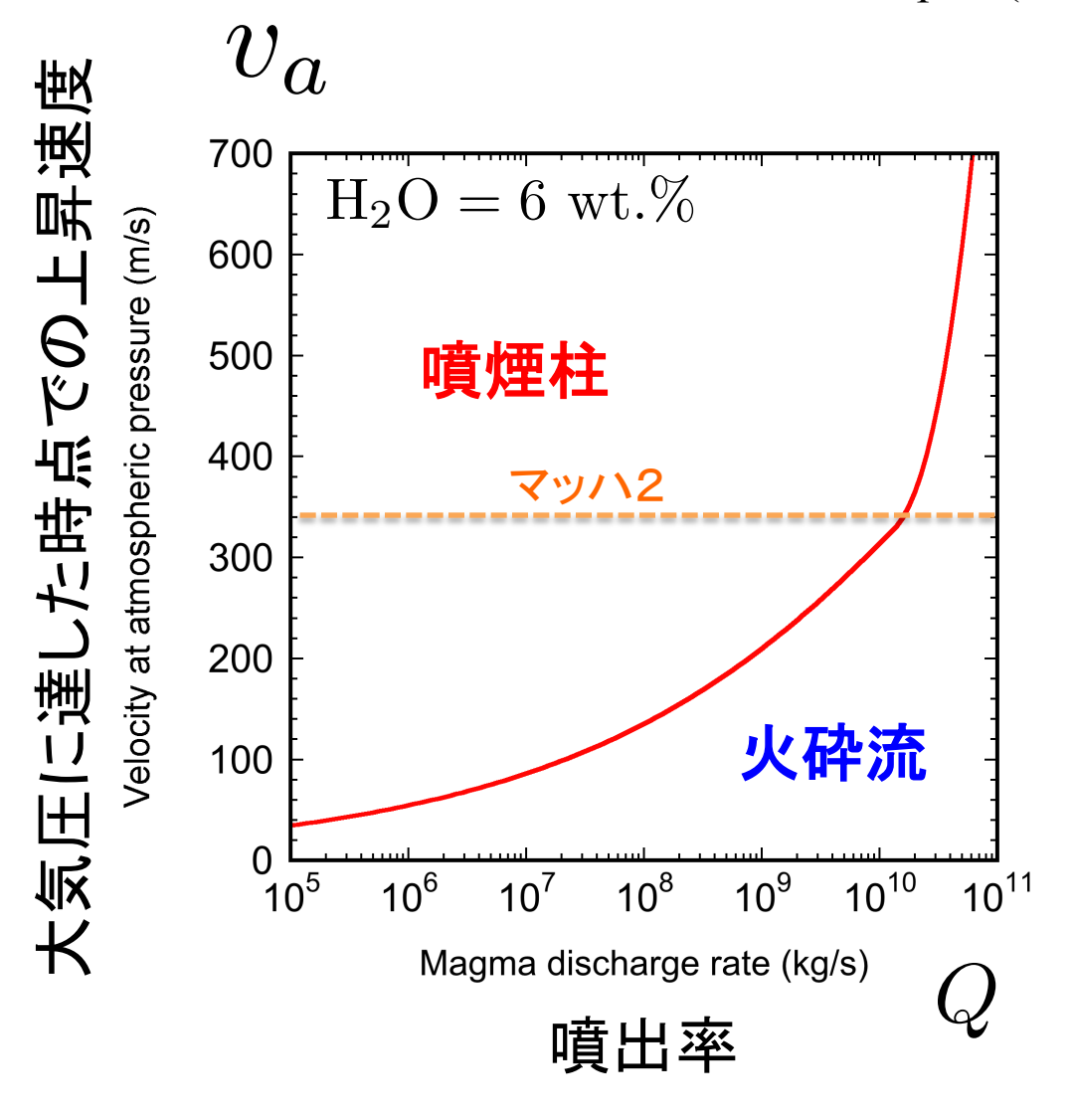
$$Ri \equiv \frac{(\rho_0 - \rho_a)g}{\rho_0} \frac{r_a}{v_a^2} \equiv \frac{g_0' r_a}{v_a^2}$$

$$Q = \pi r_{\rm a}^2 \rho_{\rm a} v_{\rm a}$$

$$v_{\text{a\_crit}} = \left(\frac{g_0^{\prime 2} Q_{\text{crit}}}{\pi \rho_{\text{a}} R i_{\text{crit}}^2}\right)^{1/5}$$
$$= F(n, T) Q_{\text{crit}}^{1/5}$$

#### 1D定常噴煙柱モデルによる噴煙柱崩壊条件

e.g., Woods (1988), Bursik and Woods (1991), Kaminski and Jaupart (2001), Suzuki and Koyaguchi (2012)



$$Ri_{\rm crit} = Ck \frac{\rho_{\rm a}}{\rho_0} \frac{\xi_{\rm crit}}{1 - \xi_{\rm crit}}$$

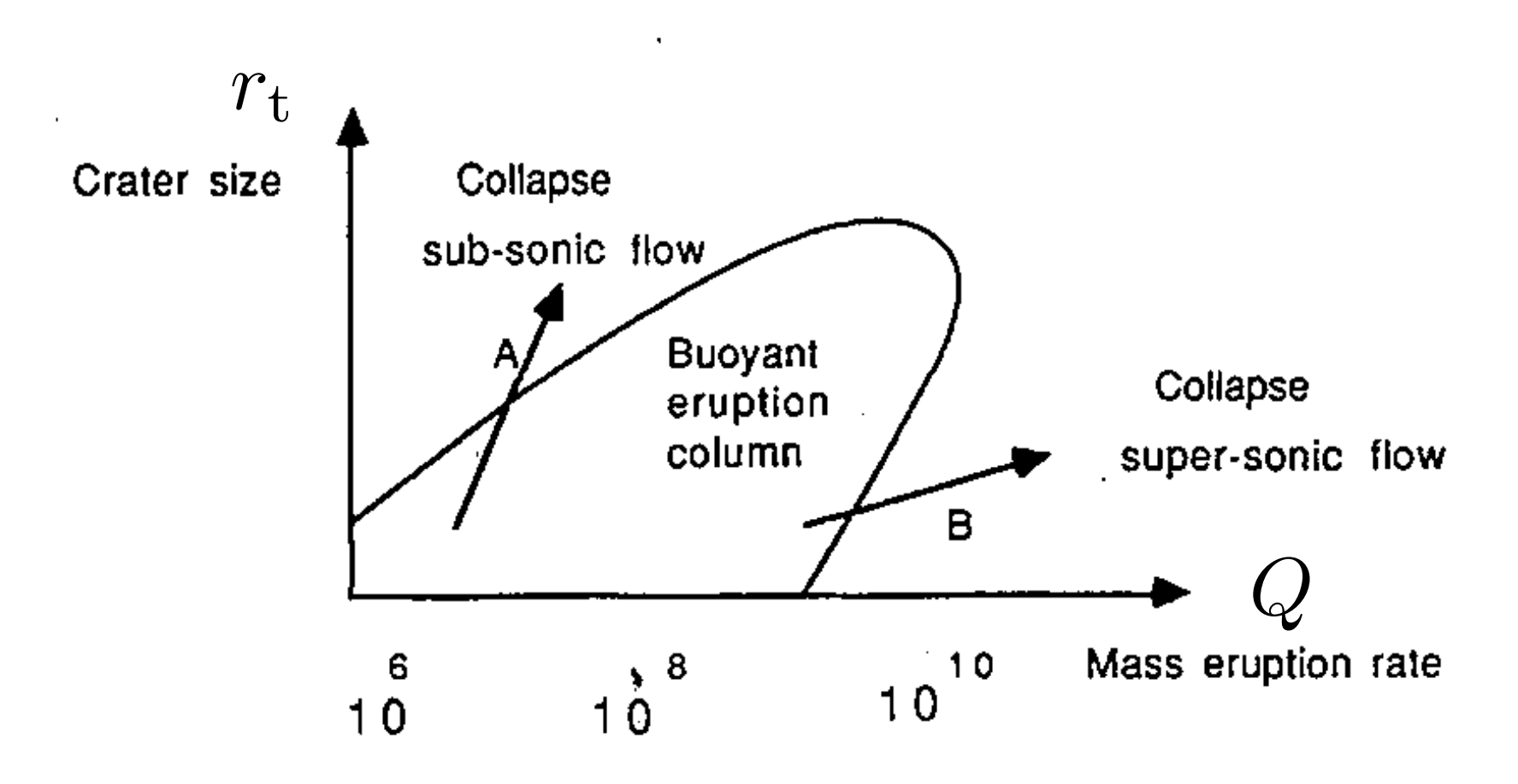
where  $Ri \equiv \frac{(\rho_0 - \rho_{\rm a})g}{\rho_0} \frac{r_{\rm a}}{v_2^2} \equiv \frac{g_0' r_{\rm a}}{v_2^2}$ 

$$Q = \pi r_{\rm a}^2 \rho_{\rm a} v_{\rm a}$$

$$y_{\text{a\_crit}} = \left(\frac{g_0^{\prime 2} Q_{\text{crit}}}{\pi \rho_{\text{a}} R i_{\text{crit}}^2}\right)^{1/5}$$
$$= F(n, T) Q_{\text{crit}}^{1/5}$$

# 噴煙柱崩壊条件に対する 火口の影響

A free hand column collapse condition drawn by Woods and Bower (1995)

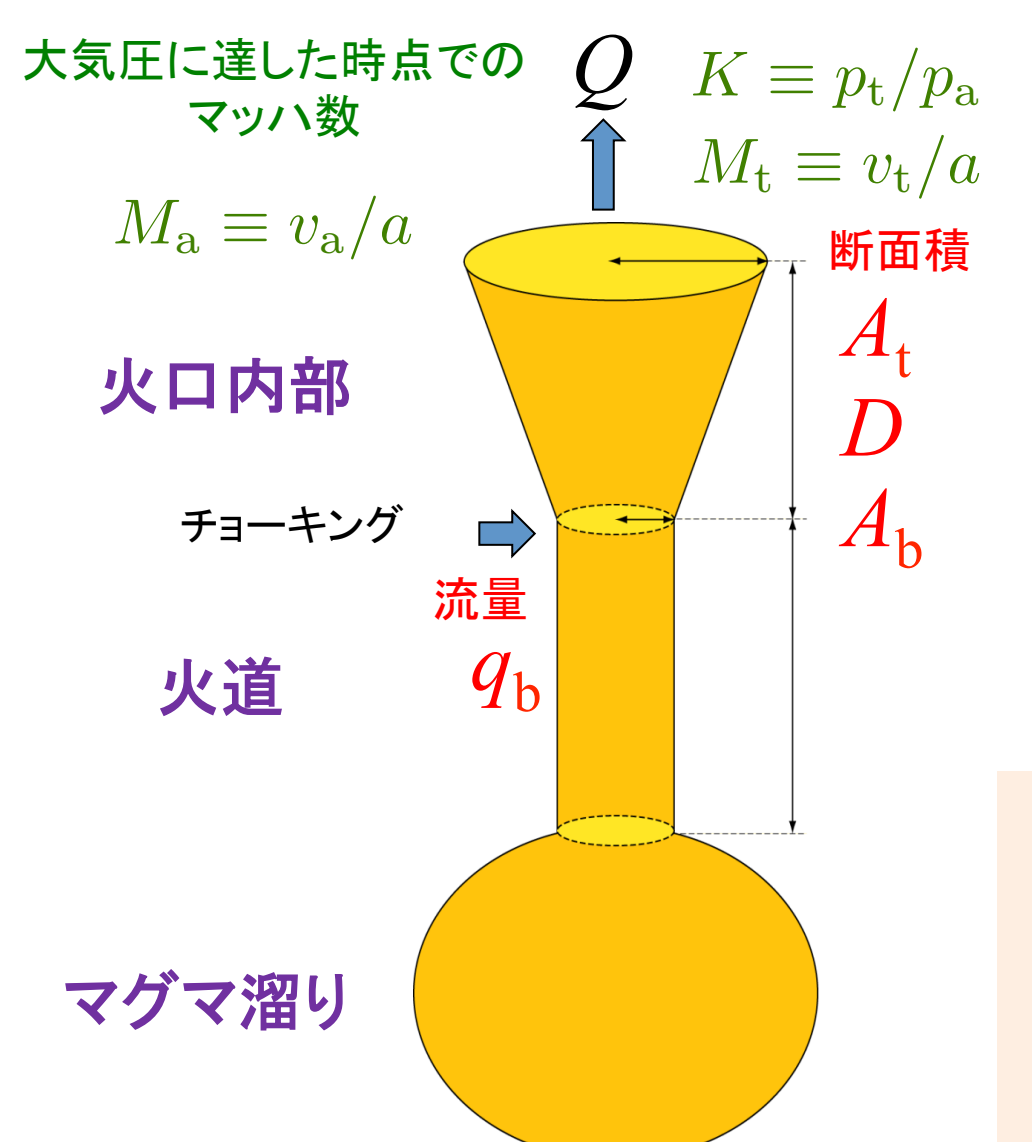


### Woods and Bower (1995)の噴煙柱崩壊条件

定性的な性質は火口の影響無しに説明される!

#### 火口の影響の解析解

(Woods and Bower, 1995; Koyaguchi et al., 2010+本研究)



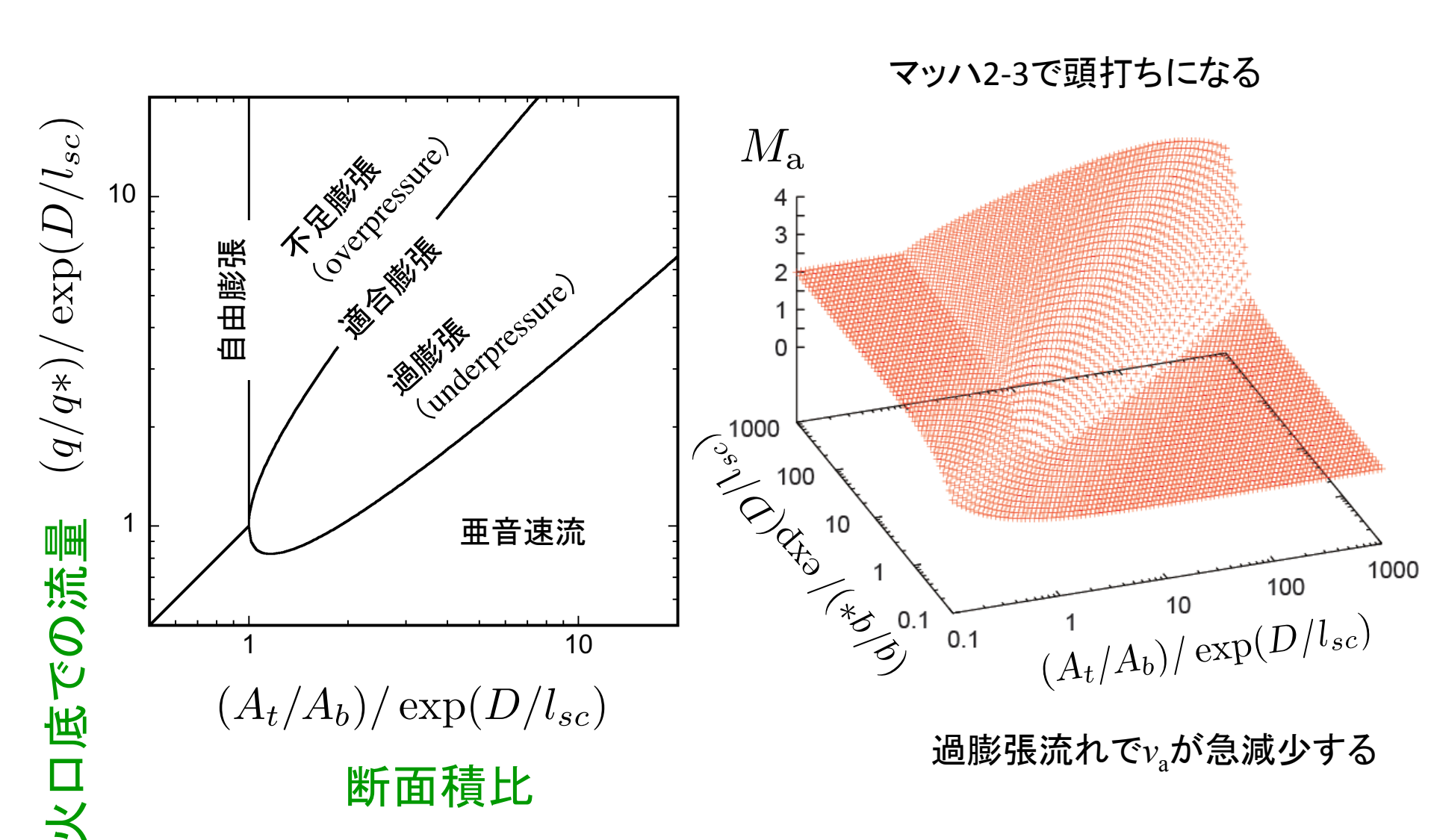
$$M_{\rm a} = M_{\rm t} + \frac{1}{M_{\rm t}} \left( 1 - \frac{1}{K} \right)$$

for 
$$X \equiv (A_{\rm t}/A_{\rm b})/\exp(D/l_{\rm sc})$$
 
$$Y \equiv (q_{\rm b}/q^*)/\exp(D/l_{\rm sc})$$
 where  $q^* \equiv \rho_{\rm a}a$   $l_{\rm sc} \equiv nRT/g$ 

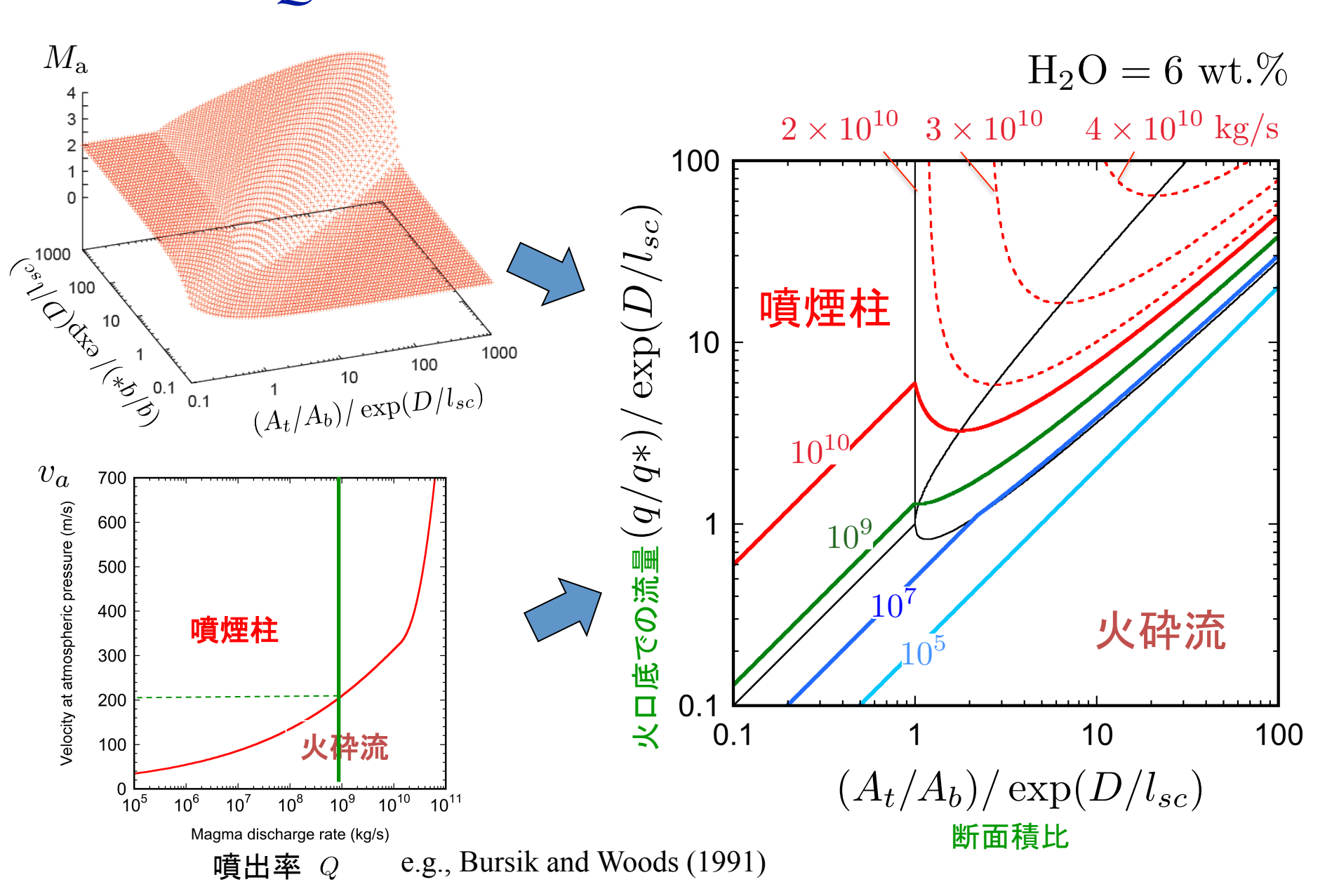
$$X = \frac{1}{M_{t}} \exp\left\{\frac{1}{2}(M_{t}^{2} - 1)\right\}$$
$$Y = K \exp\left\{\frac{1}{2}(M_{t}^{2} - 1)\right\}$$

### 火口の影響の解析解

(Woods and Bower, 1995; Koyaguchi et al., 2010+本研究)



### 噴出率②の変化に伴う火砕流発生条件の変化



### 火口の影響を含む 噴煙柱崩壊条件のスケール則

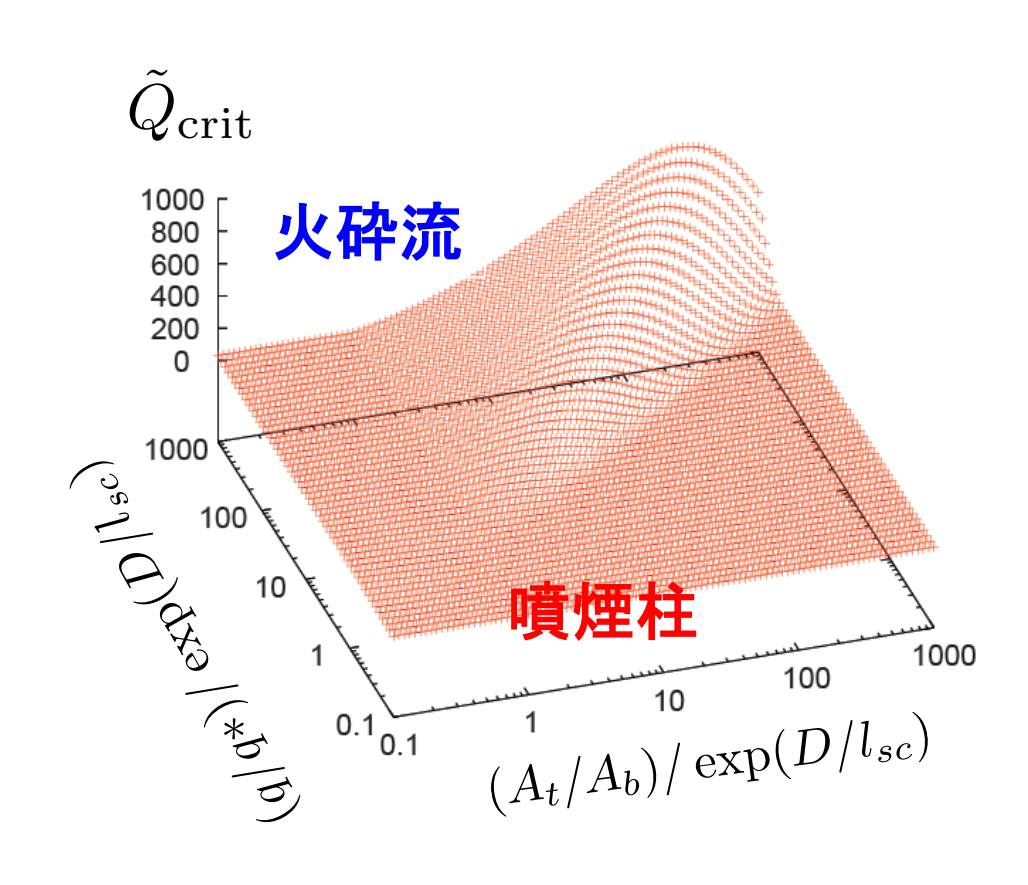
$$v_{\text{a\_crit}} = \left(\frac{g_0^{\prime 2} Q_{\text{crit}}}{\pi \rho_{\text{a}} R i_{\text{crit}}^2}\right)^{1/5}$$
$$= F(n, T) Q_{\text{crit}}^{1/5}$$



$$\tilde{Q}_{\mathrm{crit}} = M_{\mathrm{a\_crit}}^5$$

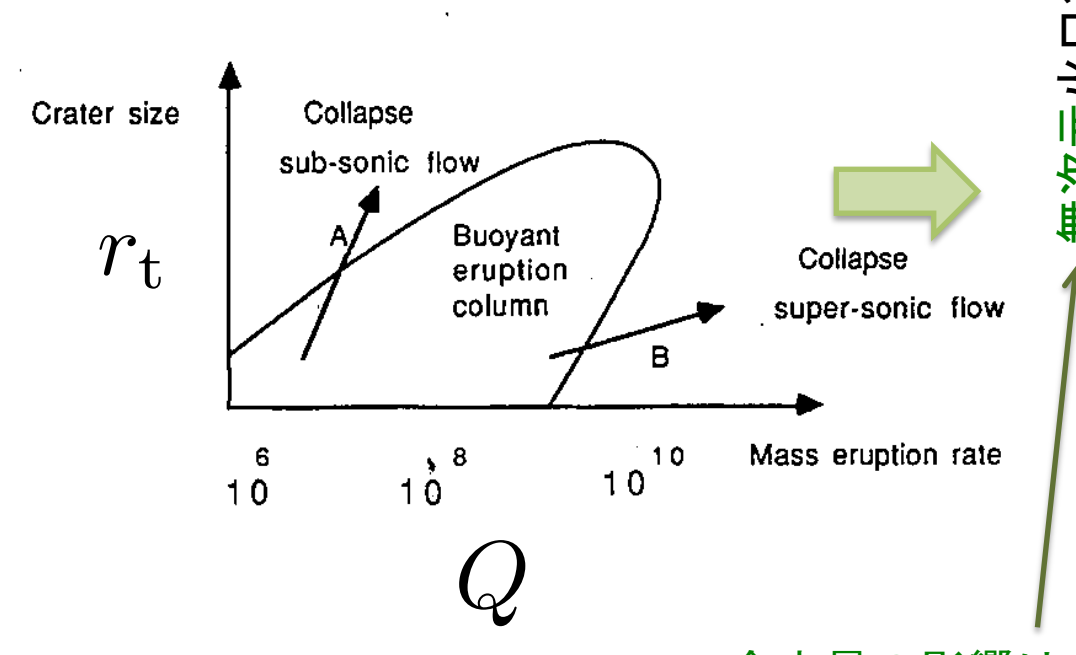
where

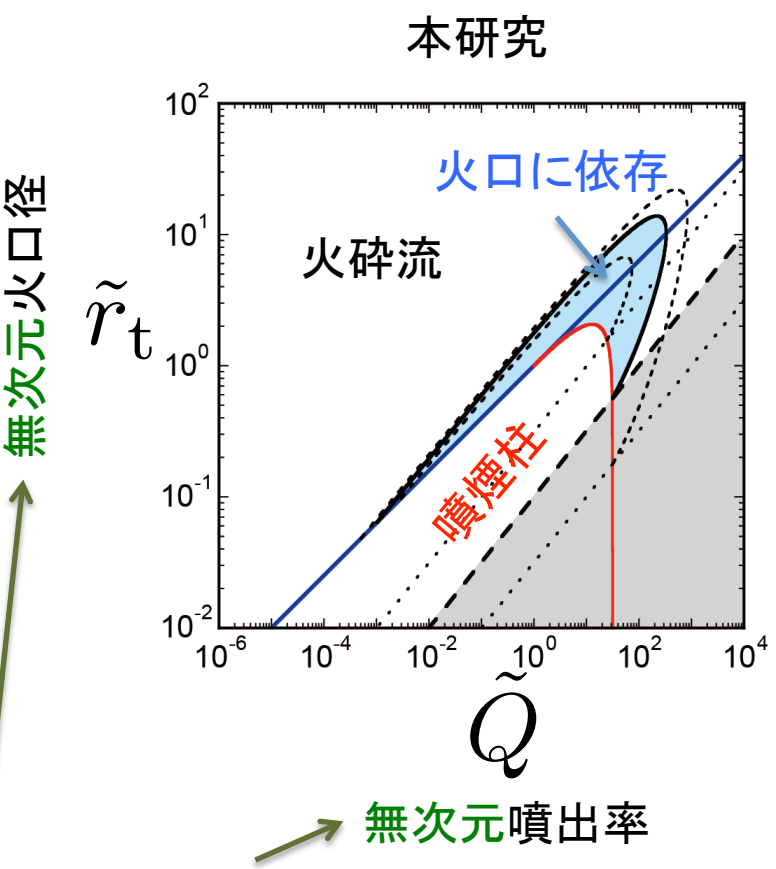
$$\tilde{Q} \equiv Q / \left( \frac{\pi \rho_{\rm a} R i_{\rm crit}^2 a^5}{g_0'^2} \right)$$



## スケール則に基づく 従来の噴煙柱崩壊条件の見直し(1/2) 火口の影響

A free hand column collapse condition Woods and Bower (1995)

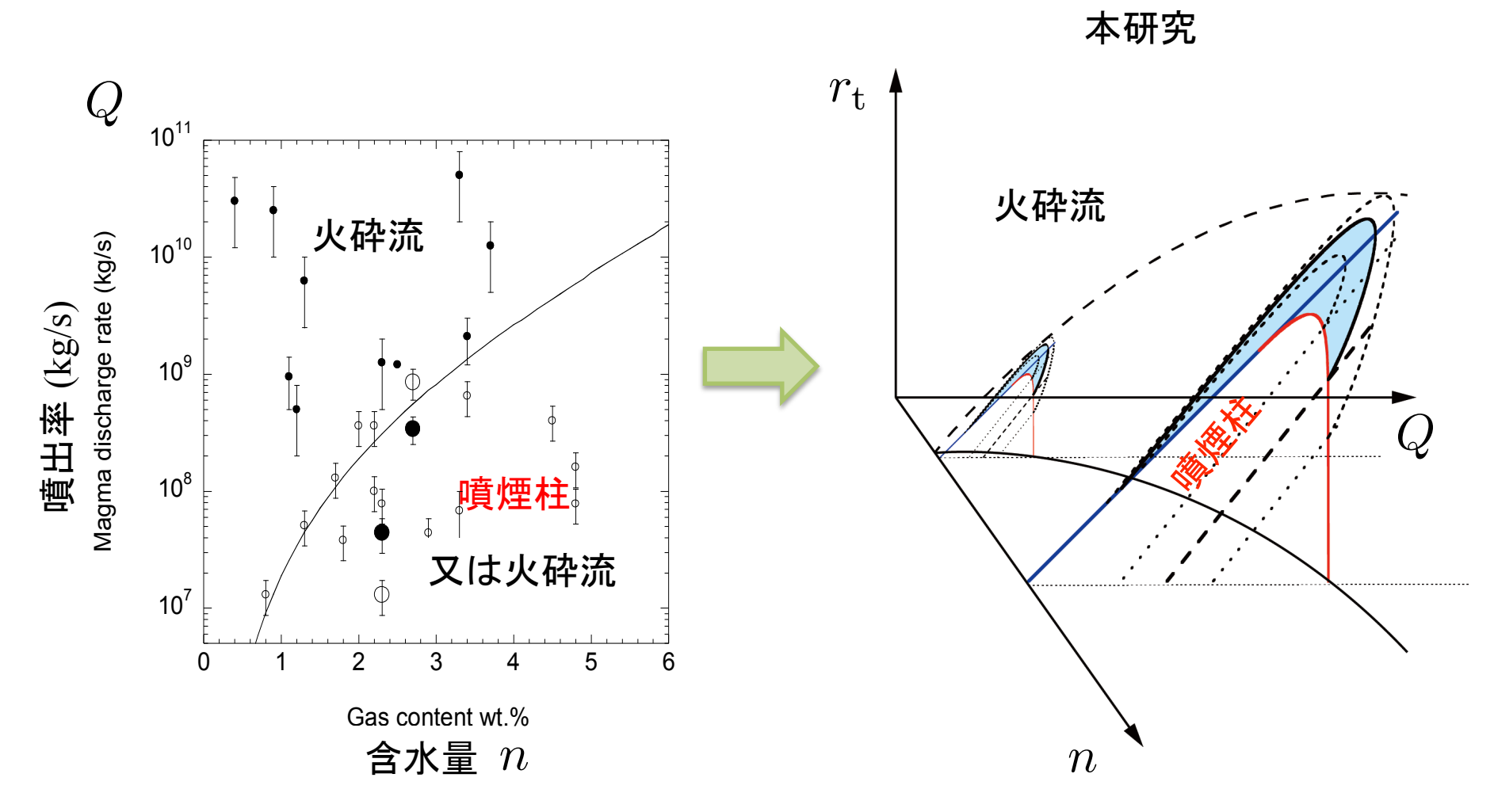




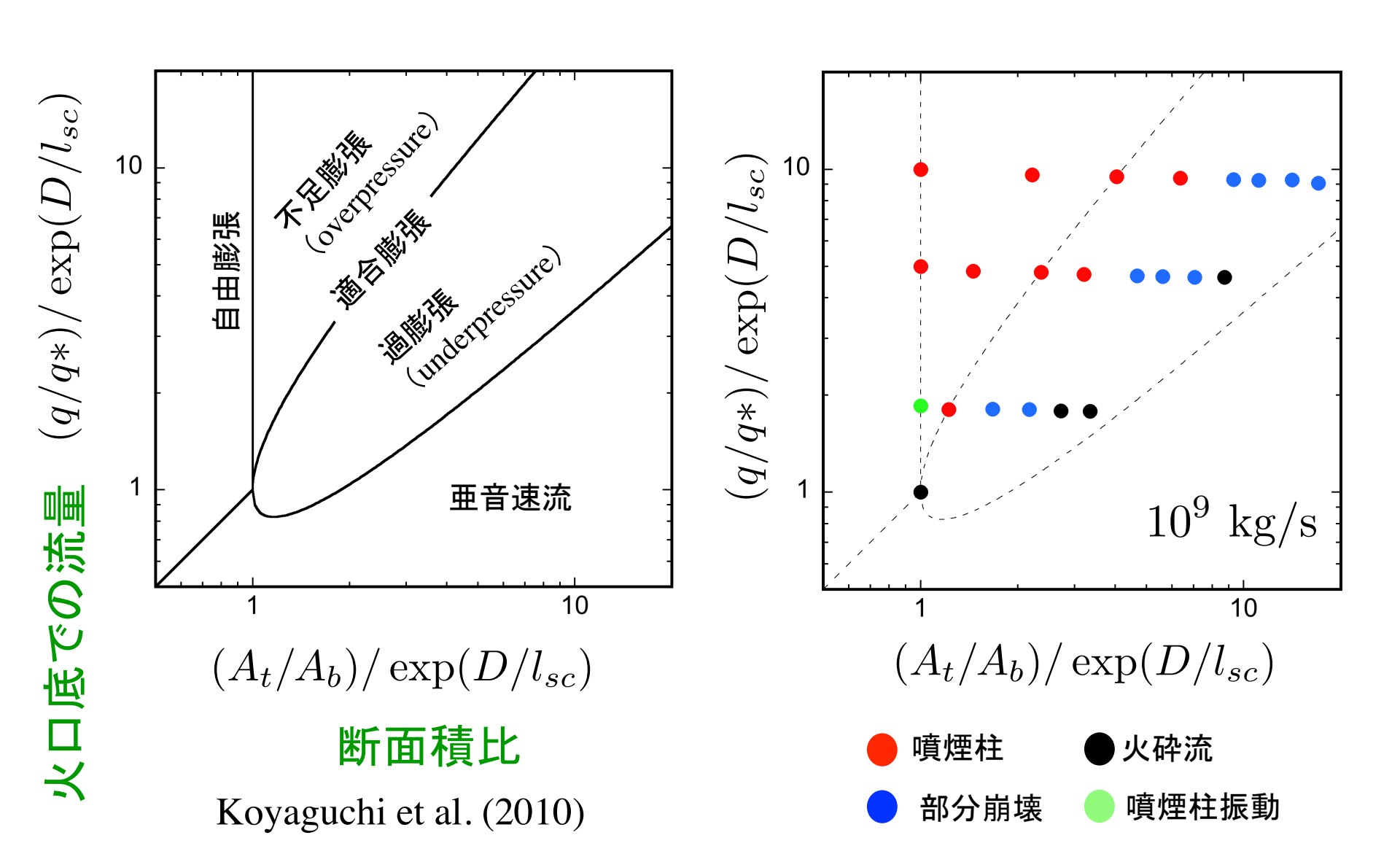
含水量の影響は 規格化パラメータに含まれる.

# スケール則に基づく 従来の噴煙柱崩壊条件の見直し(2/2)

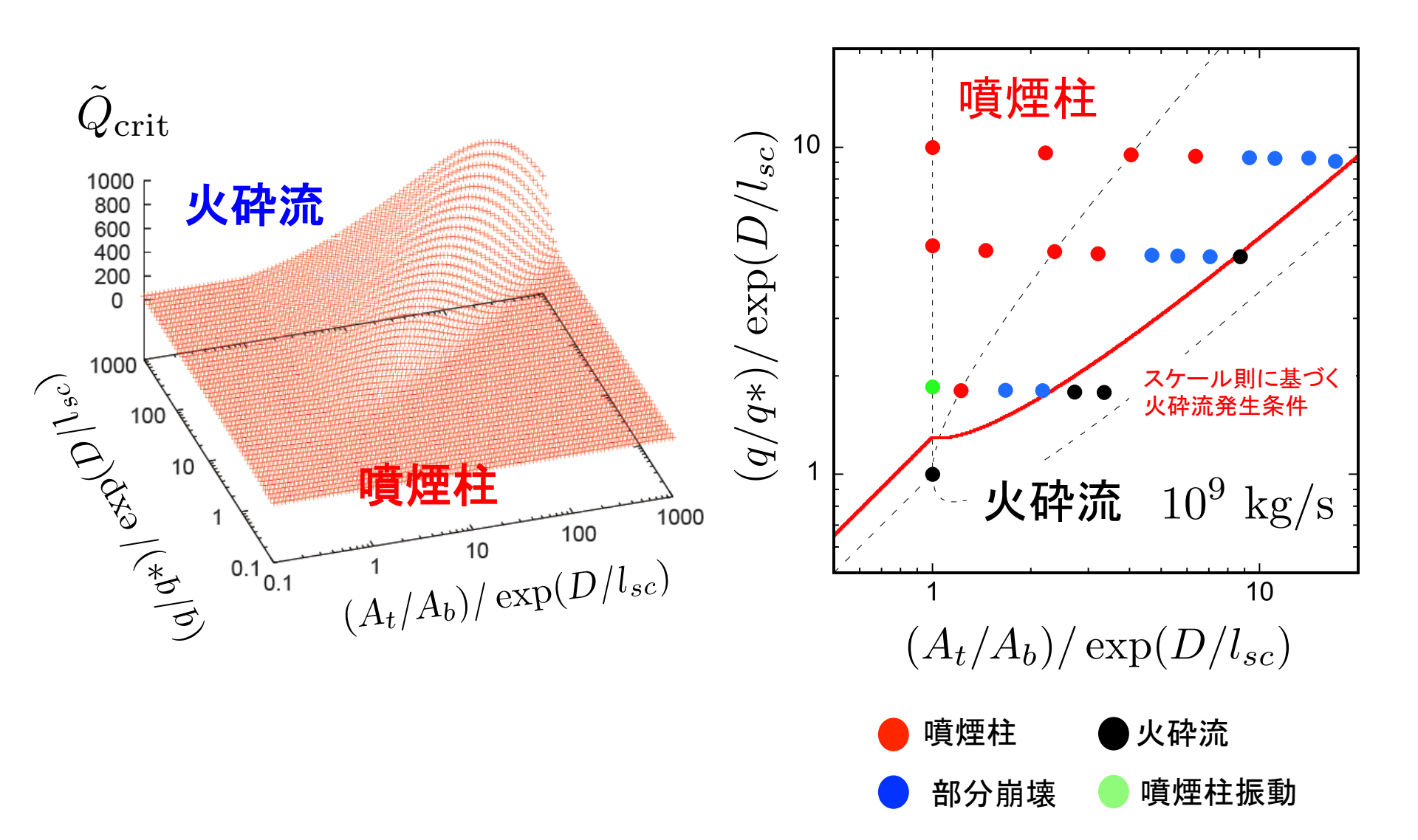
含水量の影響



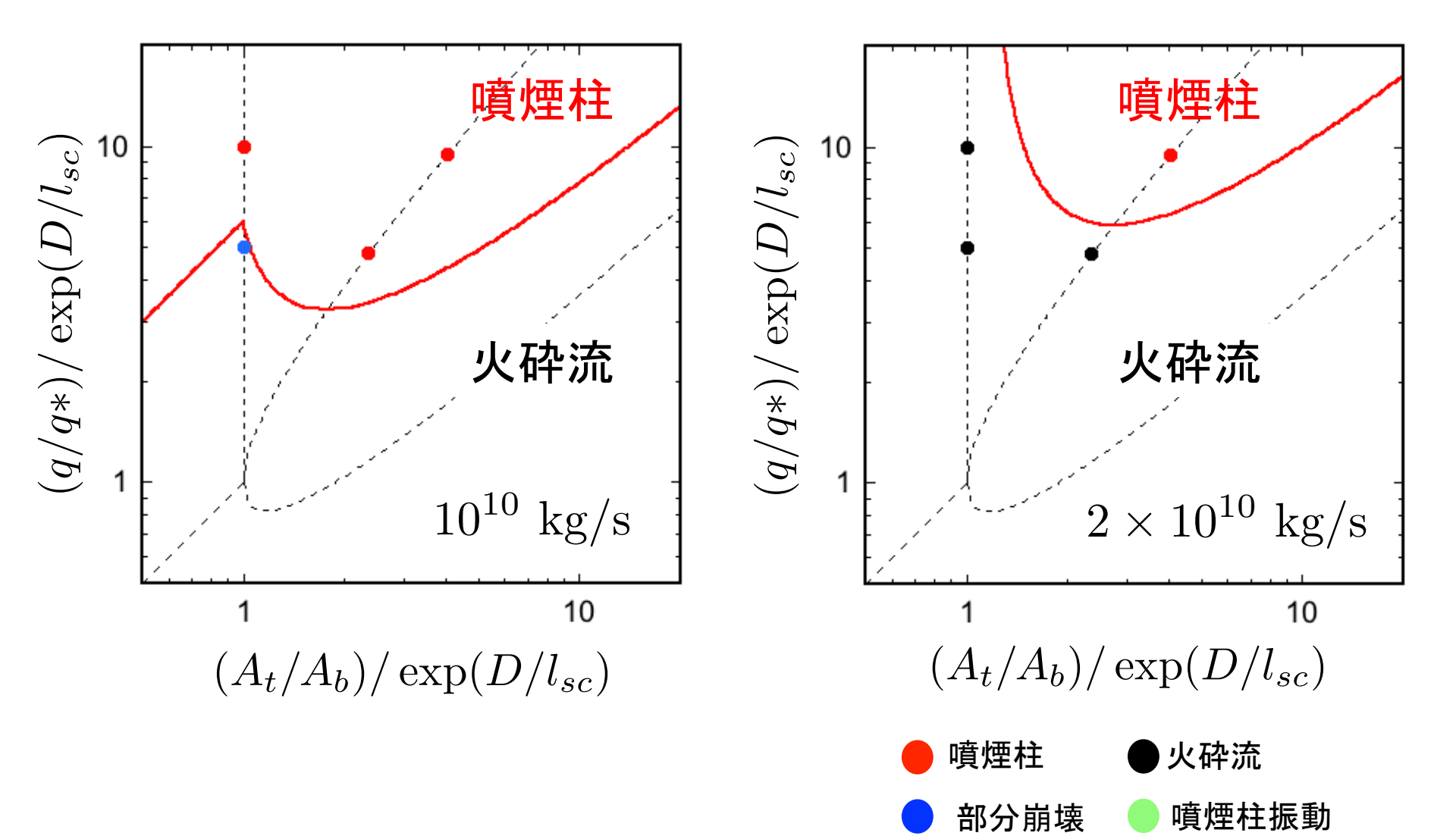
## 3Dシミュレーションに基づく検証



## 3Dシミュレーションに基づく検証

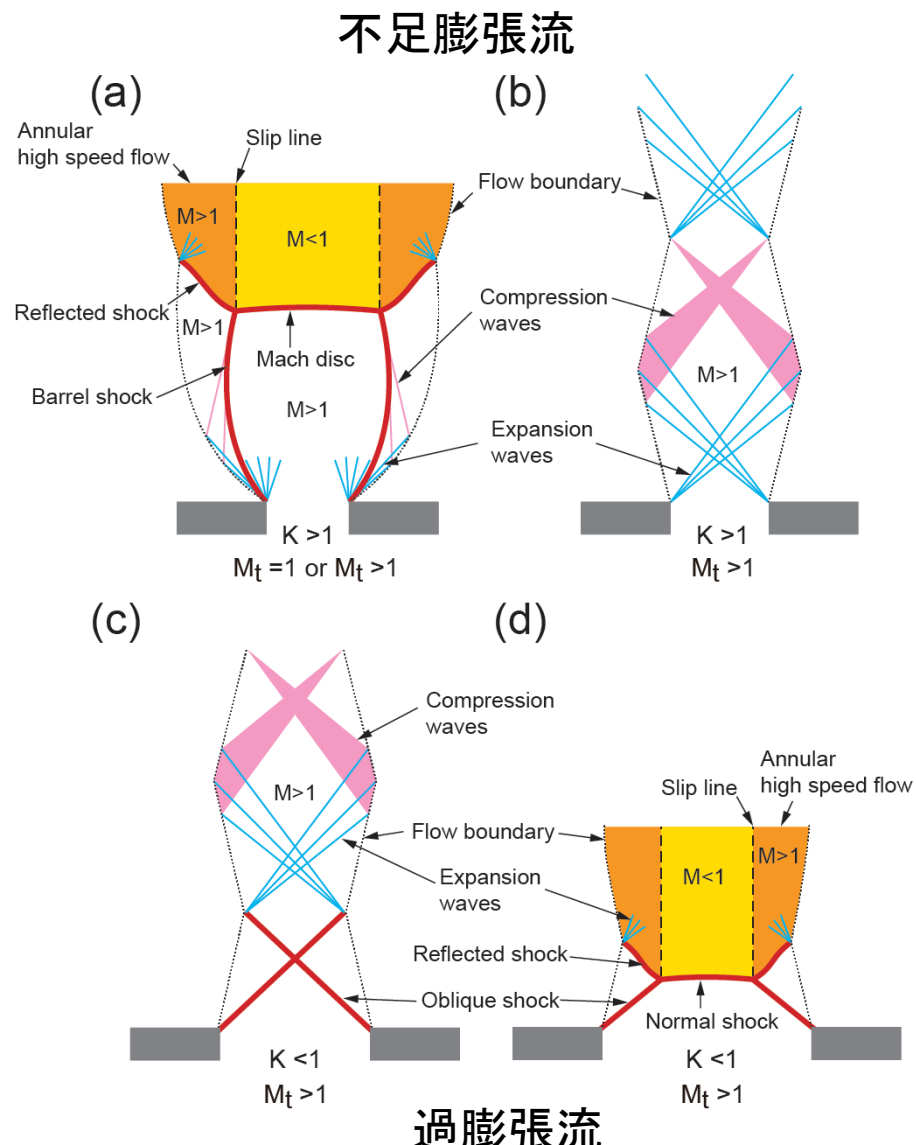


## 3Dシミュレーションに基づく検証



### 流れの多次元性の効果





$$\bar{r} \equiv \sqrt{\frac{\bar{A}}{\pi}} = \sqrt{\frac{2\int_{0}^{\infty} vrdr \int_{0}^{\infty} \rho vrdr}{\int_{0}^{\infty} \rho v^{2}rdr}}$$

#### まとめ

- 火口の影響を含む噴煙柱崩壊の条件に関するスケール則を導出した。
- 従来の噴煙柱崩壊の条件は、今回のスケール則の 一部あるいは、粗い近似として理解することができる。
- ・ 上記のスケール則を3Dシミュレーションで検証した.
- 本スケール則を基礎として, 2D,3D効果を系統的に 考慮することによって, 噴煙柱崩壊条件の全体像を 理解したい.